

О решении обратных задач теории управления с помощью гамильтоновых конструкций.

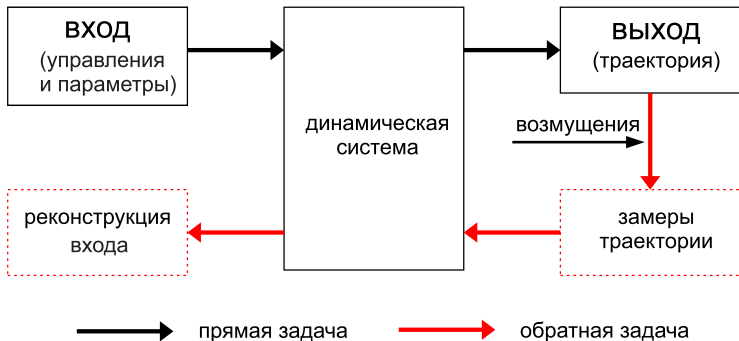
Субботина Н. Н., Крупенников Е. А.

ИММ УрО РАН, УрФУ, Екатеринбург.

**Вторая конференция Математических центров России
(7–11 ноября, МГУ, МИАН, Москва)**

**Работа выполнена при финансовой поддержке РФФИ
(проект 20-01-00362).**

Обратные задачи.



Подходы к решению обратных задач. I

-  Osipov Yu.S., Kryazhimskii A.V., Maksimov V.I. Some algorithms for the dynamic reconstruction of inputs. P. Steklov Inst. Math. (2011) doi: 10.1134/S0081543811090082 .
(экстремальное прицеливание)
-  Kabanikhin S. I., Krivorotko O. I. Identification of biological models described by systems of nonlinear differential equations // J. of Inverse and Ill-posed Problems. 2015. Vol. 23, 5. P. 519–527. doi: 10.1515/jiip-2015-0072 .
(градиентные методы)
-  Liu Y.C., Chen Y.W., Wang Y.T., Chang J.R. A high-order Lie groups scheme for solving the recovery of external force in nonlinear system. // Inverse Problems in Science and Engineering. 2018. Vol. 26, № 12. P. 1749–1783. doi: 10.1080/17415977.2018.1433669 .
(группы Ли)
-  Schmitt U., Louis A.K., Wolters C., Vauhkonen M. Efficient algorithms for the regularization of dynamic inverse problems: I. Theory. // Inverse Problems. 2002. Vol. 18, № 3. P. 659–676 doi: 10.1088/0266-5611/18/3/309 .
(оптимизация функционалов + регуляризация по Тихонову)
-  D'Autilia M. C., Sgura I. and Bozzini B. Parameter identification in ode models with oscillatory dynamics: a fourier regularization approach. // Inverse Problems 33. 2017. doi: 10.1088/1361-6420/aa9834 .
(ряды Фурье)
-  Schuster N., Burger M., Hahn B. Dynamic inverse problems: modelling—regularization—numerics. Preface. // Inverse Problems. 2018. Vol. 34, article ID 040301. 4 p. doi: 10.1088/1361-6420/aab0f5 .
(обзорная статья по современным методам)

Динамика

Рассматриваются динамические управляемые системы вида

$$\frac{dx(t)}{dt} = G(t, x(t))u(t) + f(t, x(t)), \quad (1)$$

$$x(\cdot) : [0, T] \rightarrow \mathbb{R}^n, \quad u(\cdot) : [0, T] \rightarrow \mathbb{R}^m, \quad \mathbf{m} \geq \mathbf{n}, \\ t \in [0, T], \quad T < \infty. \quad (2)$$

x — фазовые переменные, u — управления.

Допустимые управлений

Допустимые управления — измеримые функции

$$u(\cdot) : [0, T] \rightarrow \mathbf{U}, \quad (3)$$

$\mathbf{U} \subset \mathbb{R}^m$ — компакт (**необязательно выпуклый!**).

Невыпуклые ограничения могут привести к появлению так называемых скользящих режимов [12], [2, Ch. 2.2].

[12] Уткин В.И. Скользящие режимы в задачах оптимизации и управления, М.: Наука, 1981.

[2] Гамкрелидзе Р.В. Основы оптимального управления. Изд-во Тбилисского ун-та, Тбилиси. 1977 . 230 с.

Обобщенные управлени

Обобщенные управлени — измеримые функции

$$\mu(\cdot|du) : [0, T] \rightarrow rpm(\mathbf{U})$$

со значениями во множестве **регулярных вероятностных борелевских мер** на \mathbf{U} с топологией, индуцированной **слабой со звездой топологией** $C^*(\mathbf{U})$.

- [2] Гамкрелидзе Р.В. Основы оптимального управления. Изд-во Тбилисского ун-та, Тбилиси. 1977 . 230 с.
- [3] Warga J. Optimal Control of Differential and Functional Equations. Academic Press. 1972. 546 с.

Усредненные управлени

Каждому обобщенному управлению отвечает одно усредненное

$$t \rightarrow u(t) = \int_{\mathbf{U}} u \mu(t|du), \quad (4)$$

Значения усредненных управлений принадлежат **выпуклой оболочке**, натянутой на \mathbf{U} .

$$u(\cdot) : [0, T] \rightarrow co\mathbf{U}. \quad (5)$$

[2] Гамкрелидзе Р.В. Основы оптимального управления.
Изд-во Тбилисского ун-та, Тбилиси. 1977 . 230 с.

Входные данные

Известны неточные дискретные замеры реализованной
(т. н. базовой) траектории

$$x^*(\cdot) : [0, T] \rightarrow \mathbb{R}^n$$

системы (1).

Точки замеров y_i^δ :

$$\|y_i^\delta - x^*(t_i)\| \leq \delta, \quad t_i = ih^\delta, \quad T = Nh^\delta, \quad i = 0, \dots, N. \quad (6)$$

$\delta > 0$ — погрешность,

$h^\delta > 0$ — шаг.

Предположения

1. Существует компакт $\Psi \subset \mathbb{R}^n$ и константы $\delta_0 > 0$, $h_0 > 0$, $d_0 > 0$ такие, что

$$\bigcup_{i=\overline{0, N}} B_{d_0}[y_i^\delta] \subset \Psi, \quad \forall \delta \in (0, \delta_0], \quad \forall h^\delta \in (0, h_0]$$

(**все замеры содержатся в Ψ** при достаточно малой погрешности и шаге замеров);

2. Элементы $G(t, x)$ и $f(t, x)$ из (1) **липшицевы** на $[0, T] \times \Psi$;
3. Матрица $G(t, x)$ имеет **ранг n** на $[0, T] \times \Psi$.

Задача

Задача:

Найти управление, породившее базовую траекторию, по её известным замерам.

Некорректность задачи

Задача реконструкции управления **некорректна**, так как более, чем одно управление может порождать базовую траекторию.

Пример:

$$\frac{dx(t)}{dt} = u_1(t) + u_2(t), \quad x \in \mathbb{R}, \quad u \in [-1, 1] \times [-1, 1], \quad t \in [0, 1].$$

$$x^*(t) \equiv 0,$$

$$u(\cdot) \in \{(u_1(t), u_2(t))^\top : u_1(t) + u_2(t) = 0\}.$$

Корректная постановка задачи

Нормальное управление

это измеримое управление, порождающее базовую траекторию и имеющее минимальную L^2 норму.

Если предположения 1–3 выполняются, то **существует единственное** нормальное управление [17]

$$u^*(\cdot) : [0, T] \rightarrow \mathbb{R}^m.$$

[17] Субботина Н.Н., Крупенников Е.А. Слабое со звездой решение задачи динамической реконструкции // Труды Математического института им. В.А.Стеклова РАН, 315. 2021. С. 247–260.

Нормальное управление

Предположение 4. Нормальное управление является усредненным управлением:

$$u^*(t) \in co\mathbf{U}.$$

Корректная постановка задачи

Задача:

Найти **нормальное** управление, порождающее базовую траекторию.

Задача динамической реконструкции

ЗДР: Для $\forall \delta \leq \delta_0$, $h^\delta \leq h_0$ по набору замеров $\{y_k^\delta, k = 1, \dots, i \leq N\}$ построить **аппроксимирующие кусочно-постоянные функции**

$$u^\delta(\cdot) : [0, t_i] \rightarrow \mathbb{R}^m$$

такие, что к концу процесса реконструкции ($t = t_N = T$)

1. $u^\delta(t) \in \mathbf{U}$, $t \in [0, T]$;
2. Траектории $x^\delta(\cdot)$, порожденные этими управлениями, равномерно сходятся к базовой:

$$\|x^\delta(\cdot) - x^*(\cdot)\|_{\mathbb{C}} \xrightarrow{\delta \rightarrow 0, h^\delta \rightarrow 0} 0;$$

3. Эти управлении сходятся к нормальному в смысле

$$\int_0^T \langle g(\tau), u^\delta(\tau) - u^*(\tau) \rangle d\tau \xrightarrow{\delta \rightarrow 0} 0 \quad \forall g(\cdot) \in C([0, T], \mathbb{R}^m). \quad (7)$$

Сходимость управлений

Сходимость измеримых функций $u^\delta(\cdot) \rightarrow u^*(\cdot)$ (7)

$$\int_0^T \langle g(\tau), u^\delta(\tau) - u^*(\tau) \rangle d\tau \xrightarrow{\delta \rightarrow 0} 0 \quad \forall g(\cdot) \in C([0, T], \mathbb{R}^m)$$

на классе измеримых функций эквивалента слабой со звездой сходимости в пространстве $L^1([0, T], C^*(\mathbf{U}))$

$$\int_0^T \int_{\mathbf{U}} g(\tau, u) \mu^\delta(\tau, du) d\tau - \int_0^T \int_{\mathbf{U}} g(\tau, u) \mu^*(\tau, du) d\tau \xrightarrow{\delta \rightarrow 0} 0,$$
$$\forall g(\cdot) \in C([0, T] \times \mathbf{U}, \mathbb{R}),$$

где $\mu^\delta(t, du)$ — мера, сосредоточенная в точках $u^\delta(t) \in \mathbf{U}$, а $\mu^*(t, du)$ — в точках $u^*(t) \in \mathbf{U}$.

[3] Warga J. Optimal Control of Differential and Functional Equations. Academic Press. 1972. 546 c.

Вариационный подход к решению ЗДР

Шаг алгоритма совпадает с шагом поступления замеров h^δ . На каждом i -ом шаге строится решения на отрезке

$$[t_{i-1}, t_i] = [h^\delta(i-1), h^\delta i].$$

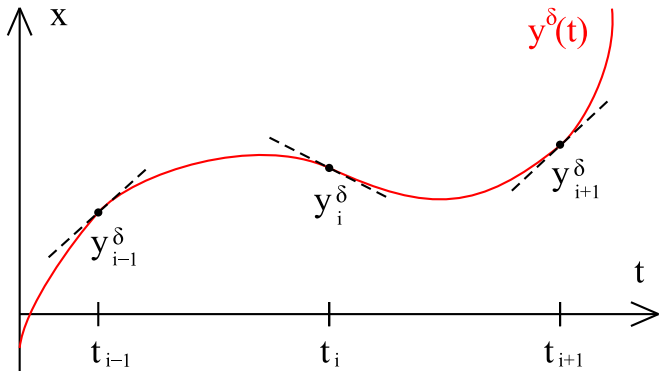
Процедуры шага:

1. **Интерполяция** замеров $y_{i-1}^\delta, y_i^\delta$.
2. **Интегрирование** гамильтоновой системы ОДУ во **вспомогательной вариационной задаче** (где используется интерполяция).
3. Построение **вспомогательного кусочно-непрерывного управления** (с использованием решения, полученного на предыдущем шаге).
4. **Усреднение и срезка** вспомогательного кусочно-непрерывного управления.
5. Построение **кусочно-постоянного аппроксимирующего управления** (на основании полученных усреднений).

Алгоритм. 1. Интерполяция.

По двум точкам $y_{i-1}^\delta, y_i^\delta$ строится **кубический сплайн** $y^\delta(t)$:

$$y^\delta(t_{i-1}) = y_{i-1}^\delta, \quad y^\delta(t_i) = y_i^\delta,$$
$$\dot{y}^\delta(t_{i-1}) = f(t_{i-1}, y_{i-1}^\delta), \quad \dot{y}^\delta(t_i) = f(t_i, y_i^\delta).$$



Алгоритм. 2. Вспомогательная задача. Постановка.

Рассматривается семейство функций $x_i(\cdot)$, $u_i(\cdot)$ таких, что:

1. Они **непрерывно дифференцируемы** и удовлетворяют уравнениям динамики (1).
2. Они удовлетворяют **краевым условиям**

$$x_i(t_{i-1}) = y_{i-1}^\delta, \quad u_i(t_{i-1}) = u_{i-1}.$$

$$x_i(t_i) = y_i^\delta, \quad u_i(t_{i-1}) = u_i.$$

Алгоритм. 2. Вспомогательная задача. Постановка.

Задача: найти **стационарные точки** функционала

$$I(x(\cdot), u(\cdot)) = \int_{t_{i-1}}^{t_i} \left[\frac{\|x(t) - y^\delta(t)\|^2}{2} - \frac{\alpha^2 \|u(t)\|^2}{2} \right] dt, \quad (8)$$

на множестве пар функций $x(\cdot), u(\cdot)$, удовлетворяющих условиям 1,2.

α — малый регуляризатор.

- [1] Tikhonov A. N. (1963) Solution of Incorrectly Formulated Problems and the Regularization Method. Soviet Mathematics Doklady, 4, 1035-1038.

Алгоритм. 2. Вспомогательная задача. Условия стационарности.

Лагранжиан задачи:

$$L(x, u, \dot{x}, \lambda, t) = \frac{\|x - y^\delta(t)\|^2}{2} - \frac{\alpha^2 \|u\|^2}{2} + \langle \lambda^T, \dot{x} - G(x, t)u - f(x, t) \rangle \quad (9)$$

где λ — вектор множителей Лагранжа. **Уравнения Эйлера:**

$$\begin{aligned} & \dot{\lambda}_l(t) - (x_l(t) - y_l^\delta(t)) \\ & + \sum_{j=1}^n \left[\lambda_j(t) \sum_{k=1}^m \frac{\partial g_{jk}}{\partial x_l}(t, x(t)) u_k(t) + \frac{\partial f_j}{\partial x_l}(t, x(t)) \right] = 0, \\ & l = 1, \dots, n, \end{aligned} \quad (10)$$

$$\alpha^2 u_h(t) + \sum_{j=1}^n [\lambda_j(t) g_{jh}(t, x(t))] = 0, \quad h = 1, \dots, m.$$

Последние m уравнений дают выражение $u(t)$ через $\lambda(t)$:

$$u(t) = -\frac{1}{\alpha^2} G^T(t, x(t)) \lambda(t). \quad (11)$$

Алгоритм. 2. Вспомогательная задача. Условия стационарности.

Получаем **гамильтонову систему уравнений**:

$$\begin{aligned}
 \dot{x}_i(t) &= -\alpha^{-2} G(t, x_i(t)) G^T(t, x_i(t)) s_i(t) + f(t, x_i(t)), \\
 \dot{s}_{i,l}(t) &= x_{i,l}(t) - y_l^\delta(t) + \frac{1}{\alpha^2} s_i^\top(t) \frac{\partial G}{\partial x_{i,l}}(t, x_i(t)) G^T(t, x_i(t)) s_i(t) \\
 &\quad + s_i(t)^\top \frac{\partial f}{\partial x_{i,l}}(t, x_i(t)), \quad l = 1, \dots, n, \\
 t &\in [t_{i-1}, t_i], \\
 x_i(t_{i-1}) &= y_{i-1}^\delta, \quad s_i(t_{i-1}) = s_{i-1}(t_{i-1}).
 \end{aligned} \tag{12}$$

где $s_i(\cdot) = \lambda_i(\cdot)$ — вектор **сопряженных переменных**, соответствующий i -ому шагу, а

$$u_i(t) = -\alpha^{-2} G^T(t, x_i(t)) s_i(t).$$

Алгоритм. 2. Вспомогательная задача. Линеаризация.

Линеаризуем систему (12):

$$\begin{aligned}\dot{x}_i(t) &= -\alpha^{-2} G_i G_i^\top s_i(t) + f_i, \\ \dot{s}_i(t) &= x_i(t) - y_i^\delta(t), \\ t &\in [t_{i-1}, t_i],\end{aligned}\tag{13}$$

где $G_i = G(t_{i-1}, y_{i-1}^\delta)$, $f_i = f(t_{i-1}, y_{i-1}^\delta)$ — "замороженные" коэффициенты из динамики (1).

Краевые условия:

$$\begin{aligned}i = 1 : \quad x_1(0) &= y_0^\delta, \quad s_1(0) = 0, \\ i = 2, \dots, N : \quad x_i(t_{i-1}) &= y_{i-1}^\delta, \quad s_i(t_{i-1}) = s_{i-1}(t_{i-1}).\end{aligned}\tag{14}$$

Свойства вспомогательных конструкций.

Общий вид линеаризованных систем, которые решаются на каждом шаге алгоритма:

$$\begin{aligned}\dot{x}(t) &= -\alpha^{-2}Qs(t) + f, \\ \dot{s}(t) &= x(t) - y^\delta(t),\end{aligned}\tag{15}$$

где

$$Q = GG^T$$

положительно-определенная матрица (Предположение 3).

Но тогда собственные значения матрицы (15) будут **чисто мнимые!**

[13] Neudecker H., Magnus J.R. Matrix Differential Calculus with Applications in Statistics and Econometrics, Third Edition. John Wiley & Sons Ltd (2019) DOI:10.1002/9781119541219

Свойства вспомогательных конструкций.

Показано, что решения (13) удовлетворяют оценкам

$$\|x(t) - y^\delta(t)\| \leq \alpha \left(C_1 + C_2 \frac{\delta}{h^\delta} + C_3 \frac{\alpha}{(h^\delta)^2} + C_4 \alpha h^\delta \left(\frac{\alpha}{(h^\delta)^2} \right)^2 \right),$$
$$\|s(t)\| \leq \alpha^2 \left(C_5 + C_6 \frac{\delta}{h^\delta} + C_7 \frac{\alpha}{(h^\delta)^2} + C_8 \alpha h^\delta \left(\frac{\alpha}{(h^\delta)^2} \right)^2 \right),$$
$$t \in [t_{i-1}, t_i], \quad i = 1, \dots, N,$$

где константы C_1, \dots, C_6 зависят от свойств функций $G(t, x)$ и $f(t, x)$ из динамики (1).

[16] Субботина Н.Н, Крупенников Е.А. Слабые со звездой аппроксимации решения задачи динамической реконструкции // Тр. Ин-та математики и механики УрО РАН. 2021. Т. 27, № 2. С. 208-220.

Алгоритм. 2. Вспомогательные управлений.

Строятся вспомогательные функции

$$\tilde{u}^\delta(t) = u_i^\delta(t) = -\frac{1}{\alpha^2} G_i^\top s_i(t), \quad t \in [t_{i-1}, t_i], \quad i \in 1, \dots, N, \quad (16)$$

где $s_i(t)$ — решение (13),(14), построенное на i -ом шаге.

Свойства вспомогательных управлений.

Показано, что траектории $\tilde{x}^\delta(\cdot)$ системы (1), порождаемые вспомогательными управлениями, удовлетворяют оценкам

$$\begin{aligned} \|\tilde{x}^\delta(t) - x^*(t)\| &\leq \underbrace{h^\delta C_7 e^{C_8 T}}_{\|\tilde{x}^\delta(t) - x(t)\| \leq} \\ + \underbrace{\alpha \left(C_1 + C_2 \frac{\delta}{h^\delta} + C_3 \frac{\alpha}{(h^\delta)^2} + C_4 \alpha h^\delta \left(\frac{\alpha}{(h^\delta)^2} \right)^2 \right)}_{\|x(t) - y^\delta(t)\| \leq} &+ \underbrace{14(\delta + h^\delta K)}_{\|y^\delta(t) - x^*(t)\| \leq}, \\ t \in [t_{i-1}, t_i], \quad i = 1, \dots, N, \end{aligned}$$

где константы C_7, C_8 зависят от свойств функций $G(t, x)$ и $f(t, x)$ из динамики (1).

[17] Субботина Н.Н., Крупенников Е.А. Слабое со звездой решение задачи динамической реконструкции // Труды Математического института им. В.А.Стеклова РАН, 315. 2021. С. 247–260.

Свойства вспомогательных управлений.

Лемма 1

Если выполнены предположения 1–4, и параметры $\delta \leq \delta_0$, $h^\delta \leq h_0$, α стремятся к нулю **согласованно**

$$\frac{\delta}{h^\delta} \xrightarrow{\delta \rightarrow 0} 0, \quad \frac{\alpha}{(h^\delta)^2} \xrightarrow{\delta \rightarrow 0} K_0 > 0, \quad (17)$$

то функции $\tilde{u}^\delta(t)$ (16)

1. Равномерно по $\delta \leq \delta_0$, $h^\delta \leq h_0$, α ограничены.
2. Порождаемые ими траектории $\tilde{x}^\delta(\cdot)$ равномерно сходятся к базовой.
3. Эти управления сходятся к нормальному в смысле условия (7).

Свойства вспомогательных управлений.

Вспомогательные управления удовлетворяют 2 и 3 условиям ЗДР.

Но первое условие ЗДР **не выполняется**, так как эти управление лишь ограничены, но не гарантируется, что они укладываются в известные геометрические ограничения на управлений **U!**

Алгоритм. 3. Усреднение вспомогательных управлений.

Функции (16) **усредняются** на каждом шаге:

Усредненные управление

$$\bar{u}_i^\delta = \frac{1}{h^\delta} \int_{t_{i-1}}^{t_i} \tilde{u}_i^\delta(\tau) d\tau. \quad (18)$$

Алгоритм. 3. Срезка усредненных управлений.

Усредненные управлении (18) "срезаются":

"срезка" управлений

$$\hat{u}_i^\delta(t) = \begin{cases} \bar{u}_i^\delta, & \bar{u}_i^\delta \in \text{co}\mathbf{U} \\ \hat{u} \in \text{co}\mathbf{U} : & \|\hat{u} - \bar{u}_k^{\alpha, \delta}\| = \min_{u \in \text{co}\mathbf{U}} \|u - \bar{u}_i^\delta\|, \quad \bar{u}_i^\delta \notin \text{co}\mathbf{U} \end{cases},$$
$$t \in [t_{i-1}, t_i], \quad k = 1, \dots, N. \quad (19)$$

Свойства срезанных управлений

Доказано, что срезанные управление (19) и порождаемые ими траектории $\hat{x}^\delta(\cdot)$ удовлетворяют оценкам

$$\|\hat{u}^\delta(t) - u^*(t)\| \leq K_1\delta + K_2 e^{K_3 T} h^\delta + K_4 \frac{\alpha}{(h^\delta)^2} + \frac{o_t(h^\delta)}{h^\delta},$$

$$\|\hat{x}^\delta(t) - x^*(t)\| \leq e^{K_5 T} \left(K_6 \delta + K_7 h^\delta + K_1 \delta + K_2 e^{K_3 T} h^\delta + K_4 \frac{\alpha}{(h^\delta)^2} \right),$$
$$t \in [t_{i-1}, t_i], \quad i = 1, \dots, N,$$

где константы K_1, \dots, K_7 зависят от свойств функций $G(t, x)$ и $f(t, x)$ из динамики (1).

Свойства срезанных управлений

Лемма 2

Если множество U , ограничивающее допустимые управление, выпукло.

Если выполнены предположения 1–4, и параметры $\delta \leq \delta_0$, $h^\delta \leq h_0$, α стремятся к нулю **согласованно**

$$\frac{\delta}{h^\delta} \xrightarrow{\delta \rightarrow 0} 0, \quad \frac{\alpha}{(h^\delta)^2} \xrightarrow{\delta \rightarrow 0} K_0 > 0, \quad (20)$$

то срезанные управление $\hat{u}^\delta(t)$ (19) удовлетворяют условиям

1. Удовлетворяют известным геометрическим ограничениям на управление (5)
2. Порождаемые ими траектории равномерно сходятся к базовой.
3. Они сходятся почти всюду к нормальному управлению:

Свойства срезанных управлений

Лемма 2 гарантирует, что срезанные управление являются допустимыми (в частности, удовлетворяют геометрическим ограничениям (5)) **только в случае выпуклости этих ограничений.**

Алгоритм. 6. Построение решения ЗДР.

Рассмотрим невыпуклые множества \mathbf{U} со следующей структурой:

$$\mathbf{U} = \{u \in R^m : u_j \in \{\bar{U}_j, \underline{U}_j\}, \quad j = 1, \dots, m\}. \quad (21)$$

Иначе говоря, пусть множество **U** **состоит из вершин** *m*-мерного прямоугольника.

Алгоритм. 6. Построение решения ЗДР.

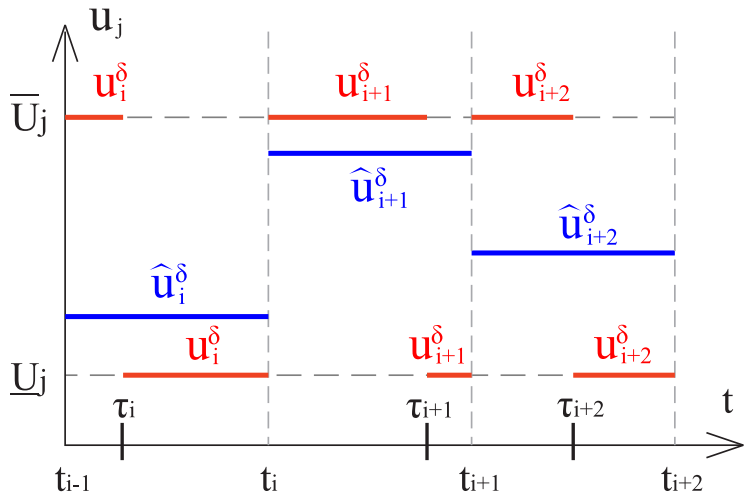
На каждом шаге срезанная функция "разбивается" на две части:

Аппроксимирующие управлени

$$u_{i,j}^\delta(t) = \begin{cases} \bar{U}_j, & t \in [t_{i-1}, \tau_i] \\ \underline{U}_j, & t \in (\tau_i, t_i] \end{cases}, \quad \tau_i = t_i - \frac{h^\delta(\bar{U}_j - \hat{u}_{i,j}^\delta)}{\bar{U}_j - \underline{U}_j}, \quad (22)$$
$$t \in [t_{i-1}, t_i], \quad i = 1, \dots, N.$$

Алгоритм. 6. Построение решения ЗДР.

$$\hat{u}_{i,j}^\delta = (t_{i+1} - \tau_{i+1})\underline{U}_j + (\tau_{i+1} - t_i)\bar{U}_j$$



Свойства аппроксимирующих управлений.

Показано, что аппроксимирующие управлении (22) удовлетворяют оценкам

$$\int_0^T \langle \varphi(t), u^\delta(t) - \hat{u}^\delta \rangle dt \leq C_9 \omega_\varphi(\mathbf{h}^\delta).$$

где $\omega_\varphi(\cdot)$ — модуль непрерывности "пробной" функции $\varphi(\cdot)$,
а

$$C_9 = 2T\sqrt{m} \max_{u \in \mathbf{U}} \|u\|.$$

Главный результат. Сходимость алгоритма.

Теорема

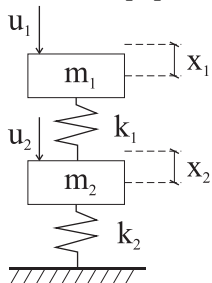
Если множество \mathbf{U} имеет структуру (21), выполняются предположения 1–4, а параметры $\delta \leq \delta_0$, $h^\delta \leq h_0$, α стремятся к нулю **согласованно**

$$\frac{\delta}{h^\delta} \xrightarrow{\delta \rightarrow 0} 0, \quad \frac{\alpha}{(h^\delta)^2} \xrightarrow{\delta \rightarrow 0} K_0 > 0, \quad (23)$$

то аппроксимирующие управлении $u^\delta(t)$ (22) удовлетворяют условиям ЗДР.

Пример. Модель.

Модель динамического демпфера машины [14]



x_1, x_2 — **отклонения** пружин,

k_1, k_2 — **коэффициенты жесткости** пружин, u_1, u_2 — внешнее воздействие.

[14] R.F. Gabasov, F.M. Kirillova, Vo Thi Thanh Ha Optimal real-time control of multidimensional dynamic plant, Autom Remote Control 76 (2015) 98–110.

Пример. Модель.

Модель динамического демпфера машины [14].

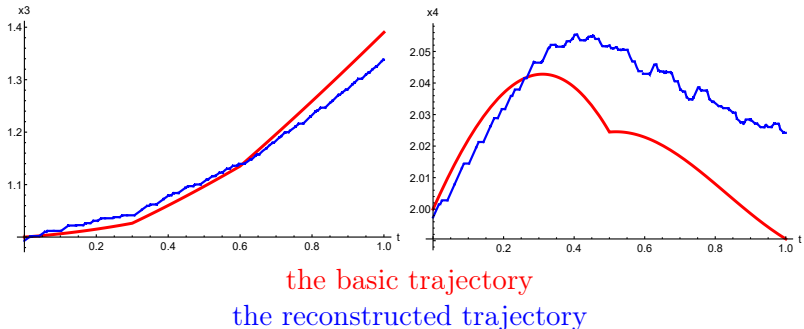
$$\begin{aligned} \begin{pmatrix} \frac{dx_1(t)}{dt} \\ \frac{dx_2(t)}{dt} \end{pmatrix} &= \begin{pmatrix} x_3(t) \\ x_4(t) \end{pmatrix}, \\ \begin{pmatrix} \frac{dx_3(t)}{dt} \\ \frac{dx_4(t)}{dt} \end{pmatrix} &= \begin{pmatrix} -\frac{x_1(t)}{m_1} + \frac{x_2(t)}{m_1} & 0 & \frac{1}{m_1} & 0 \\ \frac{x_1(t)}{m_2} - \frac{x_2(t)}{m_2} & -\frac{x_2(t)}{m_1} & 0 & \frac{1}{m_2} \end{pmatrix} \begin{pmatrix} k_1(t) \\ k_2(t) \\ u_1(t) \\ u_2(t) \end{pmatrix}, \end{aligned}$$

$$t \in [0, 1], \quad k_1(t) \in \{0, 0.5\}, \quad k_2(t) \in \{0, 0.8\}, \quad u_1 \in \{0, 1\}, \quad u_2 \in \{0, 1\}.$$

x_1, x_2 — **отклонения** пружин, k_1, k_2 — **коэффициенты жесткости** пружин, u_1, u_2 — **внешние силы**.

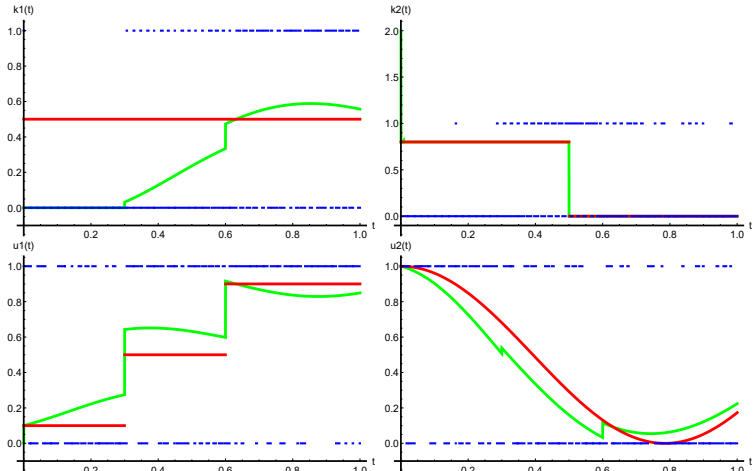
Пример. Восстановленные траектории 1.

$$\delta = 0.01, \ h^\delta = 0.02, \ (N = 50), \ \alpha = 0.01$$



Пример. Восстановленные управлении 1.

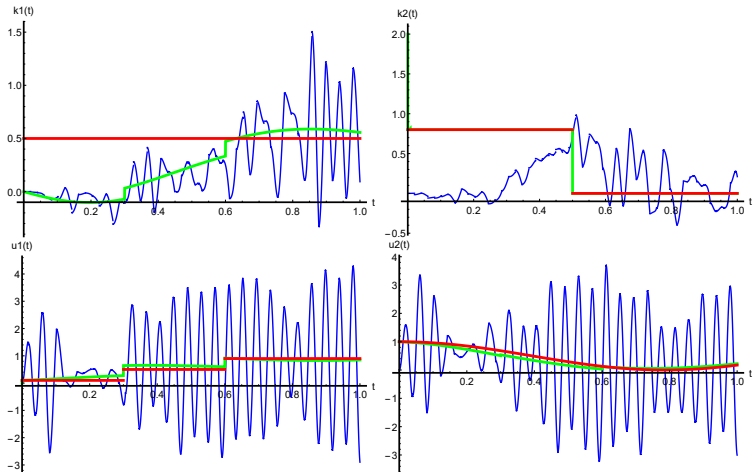
$$\delta = 0.01, \ h^\delta = 0.02, \ (N = 50), \ \alpha = 0.01$$



applied controls approximating controls the normal control

Пример. Вспомогательные управлений 1.

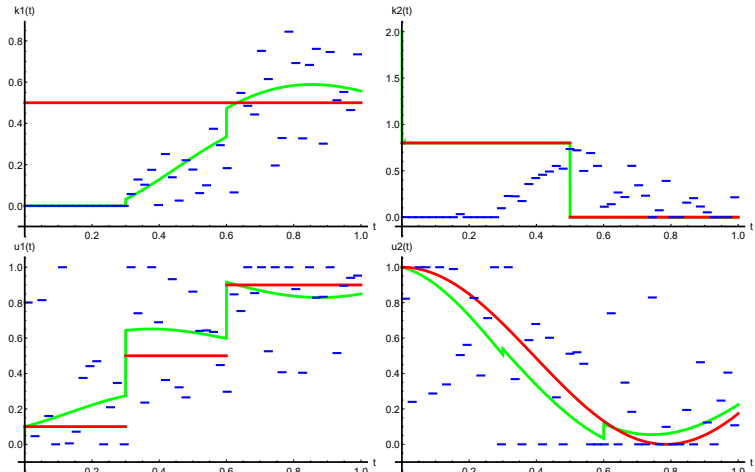
$$\delta = 0.01, \ h^\delta = 0.02, \ (N = 50), \ \alpha = 0.01$$



applied controls approximating controls the normal control

Пример. Обрезанные (усредненные) управлении 1.

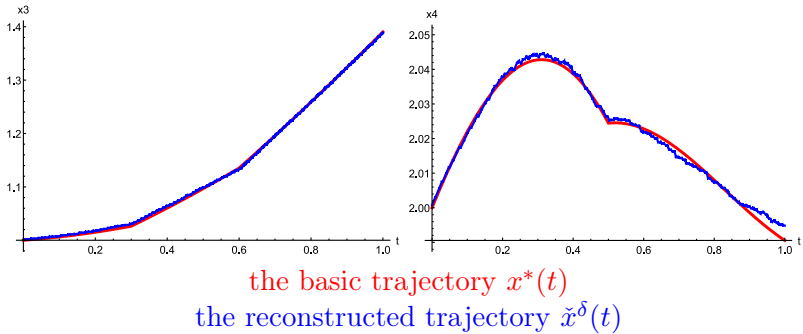
$$\delta = 0.01, \ h^\delta = 0.02, \ (N = 50), \ \alpha = 0.01$$



applied controls approximating controls the normal control

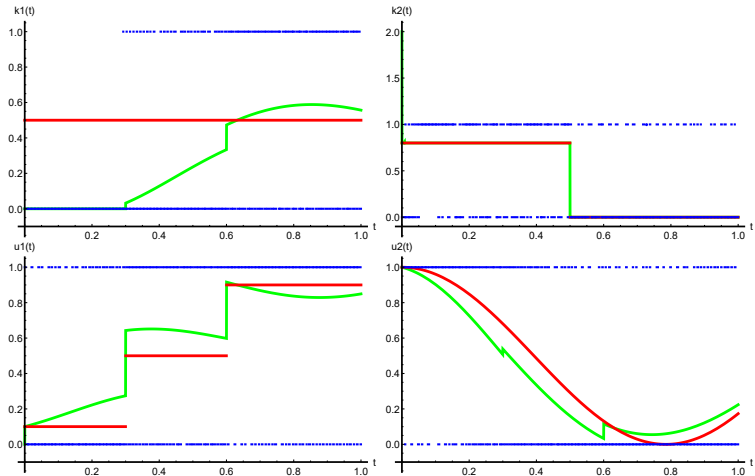
Пример. Восстановленные траектории 2.

$$\delta = 0.001, \ h^\delta = 0.01, \ (N = 100), \ \alpha = 0.0005$$



Пример. Восстановленные управлении 2.

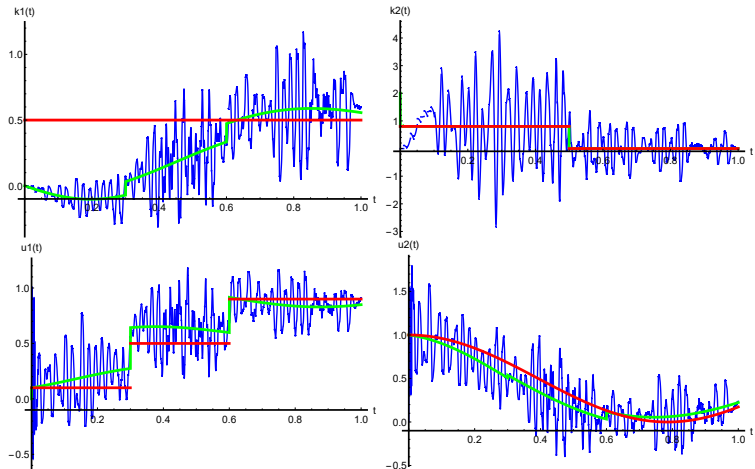
$$\delta = 0.001, \ h^\delta = 0.01, \ (N = 100), \ \alpha = 0.0005$$



applied controls approximating controls the normal control

Пример. Вспомогательные управлений 2.

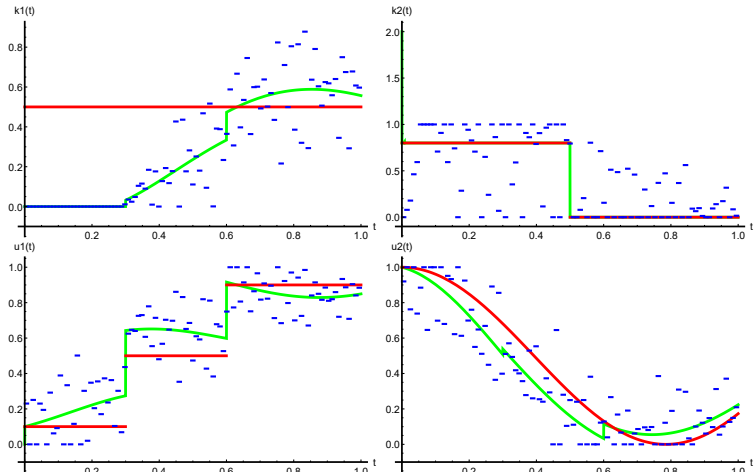
$$\delta = 0.001, \ h^\delta = 0.01, \ (N = 100), \ \alpha = 0.0005$$



applied controls approximating controls the normal control

Пример. Обрезанные (усредненные) управлении 2.

$$\delta = 0.001, \ h^\delta = 0.01, \ (N = 100), \ \alpha = 0.0005$$



applied controls approximating controls the normal control

References I

-  *Tikhonov A. N. (1963) Solution of Incorrectly Formulated Problems and the Regularization Method. Soviet Mathematics Doklady, 4, 1035-1038.*
-  *Гамкрелидзе Р.В. Основы оптимального управления. Изд-во Тбилисского ун-та, Тбилиси. 1975 . 230 с.*
-  *Warga J. Optimal Control of Differential and Functional Equations. Academic Press. 1972. 546 с.*
-  *Krasovskii N. N., Subbotin A. I. Game-theoretical control problems. New York: Springer, 1987. 517 р.*
-  *Kryazhimskij A. V., Osipov Yu. S. Modelling of a control in a dynamic system. // Eng. Cybern. № 21(2). 1983 P. 38–47.*
-  *Osipov Yu. S., Kryazhimskii A. V., Maksimov V. I. Some algorithms for the dynamic reconstruction of inputs. P. Steklov Inst. Math. (2011) doi: 10.1134/S0081543811090082 .*
-  *Kabanikhin S. I., Krivorotko O. I. Identification of biological models described by systems of nonlinear differential equations // J. of Inverse and Ill-posed Problems. 2015. Vol. 23, N. 5. P. 519–527. doi: 10.1515/jiip-2015-0072 .*
-  *Liu Y. C., Chen Y. W., Wang Y. T., Chang J. R. A high-order Lie groups scheme for solving the recovery of external force in nonlinear system. // Inverse Problems in Science and Engineering. 2018. Vol. 26, № 12. P. 1749–1783. doi: 10.1080/17415977.2018.1433669 .*
-  *Schmitt U., Louis A. K., Wolters C., Vauhkonen M. Efficient algorithms for the regularization of dynamic inverse problems: I. Theory. // Inverse Problems. 2002. Vol. 18, № 3. P. 659–676 doi: 10.1088/0266-5611/18/3/309 .*

References II

-  *D'Autilia M. C., Sgura I. and Bozzini B. Parameter identification in ode models with oscillatory dynamics: a fourier regularization approach. // Inverse Problems* 33. 2017. doi: 10.1088/1361-6420/aa9834.
-  *Schuster N., Burger M., Hahn B. Dynamic inverse problems: modelling—regularization—numerics. Preface. // Inverse Problems.* 2018. Vol. 34, article ID 040301. 4 p. doi: 10.1088/1361-6420/aab0f5.
-  *V.I. Utkin Sliding regimes in problems of optimisation and control, Nauka, Moscow, 1981 [In Russian].*
-  *Neudecker H., Magnus J. R. Matrix Differential Calculus with Applications in Statistics and Econometrics.* New Jersey: John Wiley & Sons Ltd, 2019. 472 p. doi:10.1002/9781119541219/. ISBN: 9781119541202
-  *R.F. Gabasov, F.M. Kirillova, Vo Thi Thanh Ha Optimal real-time control of multidimensional dynamic plant, Autom Remote Control* 76 (2015) 98–110.
-  *Subbotina N. N., Krupennikov E. A. Hamiltonian Systems for Dynamic Control Reconstruction Problems. // Minimax Theory and its Applications* 05 (2020), No. 2, pp.439-454.
-  *Субботина Н.Н, Крупенников Е.А. Слабые со звездой аппроксимации решения задачи динамической реконструкции // Тр. Ин-та математики и механики УрО РАН.* 2021. Т. 27, № 2. С. 208-220.
-  *Субботина Н.Н, Крупенников Е.А. Слабое со звездой решение задачи динамической реконструкции // Тр. Математического Института Им. В.А. Стеклова,* 2021, т. 315. (в печати)

References III

-  Subbotina N.N., Krupennikov Variational Approach to Solving Control Reconstruction Problems // Lobachevskii Journal of Mathematics. 2022. Vol. 43, No. 6. P. 1428–1437.
-  Subbotina N.N., Krupennikov On Inverse Problems for Mechanical Systems. Materials of 20th International Conference "Aviation and Cosmonautics". Springer Nature, 2022.

Thank you for your attention!

Спасибо за внимание!